

قياس ضغط الرياح المسلط على سطح ترب الاراضي الزراعية المتروكة وترب الكثبان الرملية في الجزء الغربي من محافظة نينوى م.م. محمد طارق حامد العبيدي م.م. بشار فاروق عبدالكريم جامعة الموصل-كلية التربية الأساسية

الستخلص

أن عملية ضغط الرياح المسلط على سطح التربة ترتبط ارتباطاً وثيقاً بالمعطيات المناخية السائدة في المنطقة كارتفاع معدلات درجات الحرارة، السطوع الشمسي، قلة الرطوبة النسبية خلال أشهر الصيف مما تسهم في زيادة نسبة التبخر ومن ثم جفاف التربة وجعلها مستجابة لعمليات التعرية الريحية وعلى وجه الخصوص في الأجزاء الجنوبية من منطقة الدراسة المتمثلة بقضاء الحضر والبعاج ، ولذلك فأن عملية التعرية الريحية للتربة تعتمد بصورة رئيسية على معرفة قوة ضغط الرياح المسلطة على سطح الارض ، القابلية المناخية للتعرية الريحية ، ولغرض الوصول الى ما يهدف اليه البحث تم اعتماد معادلات مناخية ذات الصلة بالموضوع منها (معادلة قوة ضغط الرياح (كنم /م٢) ، ومعادلة تحديد سرعة الرياح لـ(Zachar) ، ومعادلة المعافقة الى جمع ١٢ نموذجا من الطبقة هيأة البحوث الزراعية في وزارة الزراعة الأمريكية ، بالإضافة الى جمع ١٢ نموذجا من الطبقة السطحية لتربة الاراضي المتروكة والكثبان الرملية ضمن منطقة الدراسة وتحليلها مختبريا من الجل معرفة كمية الدقائق التي تنقلها الرياح بأسلوب كمي ، اذ تباينت النسبة المئوية لمحتوى الطبقة السطحية للتربة من الدقائق والمجاميع المقاومة للتعرية الريحية التي يقل قطرها عن ١ الطبقة السطحية التربة من الدقائق والمجاميع المقاومة للتعرية الريحية التي يقل قطرها عن ١ ملم ، و توصلت الدراسة الى عدة استنتاجات و توصيات .

الكلمات المفتاحية: ترب الاراضي الزراعية المتروكة، ترب الكثبان الرملية، محافظة نينوي



Measuring the pressure of the wind on the soil surface of the agricultural lands left and the soils of sand dunes in the western part of Nineveh Governorate

Assistant Lecturer Mohammed T. H
University of Mosul
College of Education for Humanities

M.tarq83@yahoo.com

Lecturer Bashar F. A
University of Mosul
College of Basic Education
b.farook49@gmail.com

Abstract

The wind pressure applied to the surface of the soil is closely related to the climatic data prevailing in the region such as high temperature, solar brightness, relative humidity during the summer months which contribute to increasing the evaporation rate and then dry the soil and make it responsive to wind erosion In particular in the southern parts of the study area Represented by al-Hadhar and al-baaj district. Therefore, the soil erosion process depends mainly on the knowledge of the force of wind pressure on the surface of the earth, the climatic susceptibility of wind erosion, soil susceptibility to wind erosion, And for the purpose of reaching the aim of the research, a number of relevant climatic equations were adopted (wind pressure strength (kg / m2), Zachar wind speed equation, Chepil and woodruff equation recommended by the Agricultural Research Authority of the Ministry of Agriculture America, In addition to collecting 12 models of the surface layer of the soil of the abandoned land and sand dunes within the study area and laboratory analysis in order to know the amount of flours transported by the wind in a quantitative level, Where the percentage of the surface layer content of the soil varied from the flours and the groups resistant to wind erosion less than (1 mm) in diameter. The study reached several conclusions and recommendations

Key words: abandoned farmland, sand dunes, Nineveh governorate



المقدمة

١ - هدف الدراسة :

تهدف الدراسة الى قياس ضغط الرياح المسلط على سطح ترية الاراضى الزراعية المتروكة في قضائي الحضر والبعاج وتاثير العوامل المناخية في قياس ضغط الرباح المسلط على سطح التربة والقابلية المناخية للتعربة الربحية لتربة الاراضي الزراعية المتروكه.

٢ – مشكلة البحث:

تتركز مشكلة البحث حول وضع مشكلة رئيسية تتمحور حول مجموعة من الاسئلة التالية:

- هل هناك تكرار للتعربة الربحية في منطقة الدراسة ؟
- هل هناك قابلية مناخية لها دور على نشاط التعربة الربحية للتربة ؟ -۲
- هل هناك ضغط مسلط لدقائق تربة الاراضي الزراعية المتروكة ؟ -٣

٣- مبررات الدراسة:

انطلقت الدراسة من المبررات الآتية:

- عدم توافر دراسة تفصيلية عن هذه الظاهرة في منطقة الدراسة . -1
- أن اهتمام العديد من الدول ومراكز البحوث والباحثين المختصين بدراسة مشكلة **−**٢ التعرية الريحية دفع الباحثين الى دراسة هذه المشكلة بوصفه باحثاً ودراسة هذه المشكلة دراسة جغرافية .

٤ - فرضية البحث:

تنطلق الدراسة من فرضية أن ترب منطقة الدراسة تتعرض لظاهرة التعربة الربحية في بعض المناطق بسبب كونها اراضي منبسطة واراضي زراعية متروكة وخالية من النبات الطبيعي وإنعدام وجود المياه الكافية لقيام الزراعة في الموسم الجاف، بالاضافة الى انتشار المنخفضات الصحراوبة و الكثبان الرملية حتى أصبحت منطقة الدراسة تعانى من مشكلة بيئية يمتد تأثيرها الى المناطق المجاورة .



٥ – منهجية البحث:

اعتمدت الدراسة على المنهج الوصفي و التحليلي الذي يبدأ من الجزئيات الى الكليات معتمداً المنهج التحليلي العلمي في تحليل البيانات الاحصائية واستخدام المعادلات المناخية الرياضية تمثيل البيانات الكمية .

٦- هيكلية البحث

لقد اقتضت الضرورة العلمية من اجل التوصل الى هدف الدراسة فقد قسم البحث الى مبحثين رئيسين المبحث الاول: قياس ضغط الرياح المسلط على سطح التربة اما المبحث الثاني: القابلية المناخية للتعرية الريحية في منطقة الدراسة ،و توصلت الدراسة الى عدة استنتاجات و توصيات.

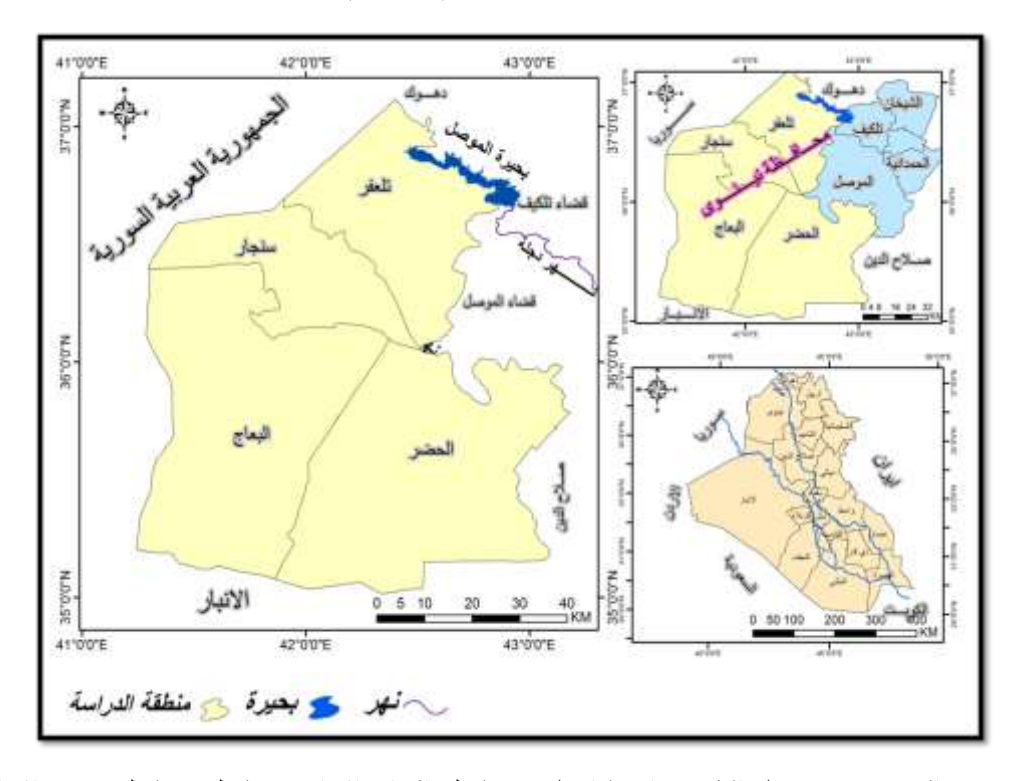
٧- موقع منطقة الدراسة

تقع منطقة الدراسة في الجزء الشمالي الغربي من العراق ضمن الاجزاء الغربية من محافظة نينوى، يحاددها من الغرب حدود الجمهورية العربية السورية، ومن الشمال الشرقي يحدَها محافظة دهوك، ومن الشرق يحدَها قضاء تلكيف ومركز قضاء الموصل، ومن الجنوب الشرقي محافظة صلاح الدين، ومن الجنوب محافظة الانبار.

تقع منطقة الدراسة فلكيا بين دائرتي عرض (١٢ ٣٠ ٣٠ ٣٠ ٣٠) شمالاً وخطي طول (٥٠ ١٩ - ٢١ ٣٠ ٢٠) شرقاً،. لاحظ الخريطة (١).



خريطة (١)الموقع الجغرافي والفلكي لمنطقة الدراسة



المصدر: من عمل الباحثين اعتمادا على: خارطة العراق الادارية وخارطة محافظة نينوى الادارية، صادرة عن الهيئة العامة للمساحة، بغداد، ١٩٩٠.

المبحث الاول: قياس ضغط الرباح المسلط على سطح التربة:_

ويعبر عنه قوة ضغط الرياح المسلطة على محتوى سطح التربة من المجاميع والدقائق القابلة وغير القابلة للتعرية، والتي تتباين مكانياً تبعاً لتباين الخصائص الفيزياوية والكيمياوية للطبقة السطحية للتربة، اذ أن لمدة الجفاف الطويلة أثر كبير على عمليات تكوين التربة وتجددها وأنها تعد عاملاً مساعداً على ازدياد عملية التعرية بفعل الرياح، ومن ثم انجراف التربة السطحية، فالتربة التي تبدو جافة ومفككة في الفصل الجاف والطويل تكون ذات قابلية للتعرية بفعل الرياح (۱) ، لاسيما عندما تتجاوز الرياح السرعة الحرجة



(Threshold wind velocity) (*)، وتبعاً لاختلاف سرعة الرياح أن للرياح قوة ضغط مسلطة على سطح التربة تتناسب طردياً مع مربع سرعتها وحسب ما توضحه المعادلة التالية (٢):

قوة ضغط الرياح (كغم / م) = ۰,۰۰۰ × مربع سرعة الرياح (كغم / ساعة).

فعندما تكون قوة ضغط الرياح المسلطة على الدقائق الجافة والمفككة لسطح التربة تبدأ تلك الدقائق بالانفصال عن سطح التربة ومن ثم التحرك بفعل طاقة الرياح محدثة التعرية الريحية، حينما تسمح أحوال السطح من تربة جافة عارية من الغطاء النباتي أو مصدات الرياح، ويشتد ضغط الرياح بازدياد سرعتها ومقدار جفافها، فالذرات والحبيبات سوف تفقد قوة ترابطها بالأرض حينما تتعرض للاضطراب الهوائي، وتبدأ بالتحرك حينما تتغلب سرعة الرياح على قوة احتكاك الذرة بسطح الارض وثقل الذرة ذاتها(۱) ، ولا يمكن أن تتم هذه الحركة إلا عندما تزداد سرعة الرياح عن السرعة الأولية اللازمة لحركة الدقائق القابلة للتعرية الريحية التي تتباين بتباين أحجام تلك الدقائق، كما يتضح من الجدول (۱) قيم قوة ضغط الرياح (كغم / م۲) وفقاً لمقياس Beaufort لسرعة الرياح (م / ثا) (كم / ساعة) وطبقاً لمعادلة قوة ضغط الرياح فأن مقدار قوة ضغط الرياح تزداد بزيادة سرعتها.

(٤٢٧)

^(*) السرعة الحرجة : _ هي سرعة الرياح اللازمة لبدء حركة الحبيبات على سطح التربة.



الجدول (۱) قيم قوة ضغط الرياح (كغم / م $^{\prime}$) وفقاً لمقياس Beaufort الجدول (۱) قيم قوة ضغط الرياح (كغم / م $^{\prime}$) الجدول الجدول (۱) قيم قوة ضغط الرياح (كغم / م $^{\prime}$)

قوة ضغط		۲				
الرياح	توسط	المتوسط		المدي	وصف حالة	رقم
(کغم/م ^۲) (*)	(كم/ساعة)	(م/ثا)	(كم/ساعة)	(م/ثا)	الرياح	بيفورت
•	•	•	1	٠,٢ - ٠	هادئة	•
٠,٠٥	٣	٠,٩	0-1	1,0 -1,4	هواء خفيف	١
٠,٤٩	٩	۲,٤	11-7	۳,۳ –۱,٦	نسيم خفيف	۲
1,0 £	١٦	٤,٤	19-17	0, 5 - 4, 5	نسيم عليل	٣
٣,٤٦	۲ ٤	٦,٧	7.47.	٧,٩ - ٥,٥	نسيم متوسط	٤
٦,٩٤	٣٤	٩,٣	P7-17	۱۰,۷ – ۸,۰	نسيم نشط	٥
11,77	٤٤	۱۲,۳	٤٩-٣٩	۱۳,۸ – ۱۰,۸	نسيم قوي	٦
۱۸,۸۲	०٦	10,0	71-0.	17,1 - 17,9	ربح متوسطة	٧
۲٧,٧٤	٦٨	١٨,٩	V £ – 7 Y	7., 7 - 17, 7	ريح نشطة	٨

^(*) استخرجت قوة ضغط الرياح (كغم / م) من قبل الباحث، اعتماداً على معادلة قوة ضغط الرياح (كغم / م) المذكورة.

اذ تمثل الرياح الحركة الافقية للهواء فوق سطح الارض ، وتتم حركة جزيئات الهواء بين أماكن ذات ضغوط مختلفة، حيث تتحرك من مناطق الضغط المرتفع الى مناطق الضغط المنخفض (۲) ، تتميز الرياح في العراق بصورة عامة بانخفاض سرعتها خلال شهور السنة، باستثناء بعض الحالات التي تحدث فيها اضطرابات جوية ترافق المنخفضات الجوية المتوسطة (٤) ، أما بالنسبة لسرعة الرياح في منطقة الدراسة، فإنه يتضح من الجدول (٢) والشكل (١) المعدلات الشهرية لسرعة الرياح (م/ثا) في المحطات المناخية في منطقة الدراسة للمدة (٩٥ - ٢٠١٤) ، اذ إن المعدل السنوي لسرعة الرياح في منطقة الدراسة بلغ (٣٠٠٨) م/ثا ، وإن المعدل السنوي لسرعة الرياح في محطة (سنجار ، ربيعة، تل عبطة، البعاج، تلعفر) قد بلغ (٩٠ ، ٢٠ ، ٢ ، ١٠ مراثا على التوالي، اذ بلغ اعلى معدل سنوي في قد بلغ (٣٠٠٠ ، ٣٠ ، ٣٠ ، ٣٠ ، ٣٠ مراثا على التوالي، اذ بلغ اعلى معدل سنوي في

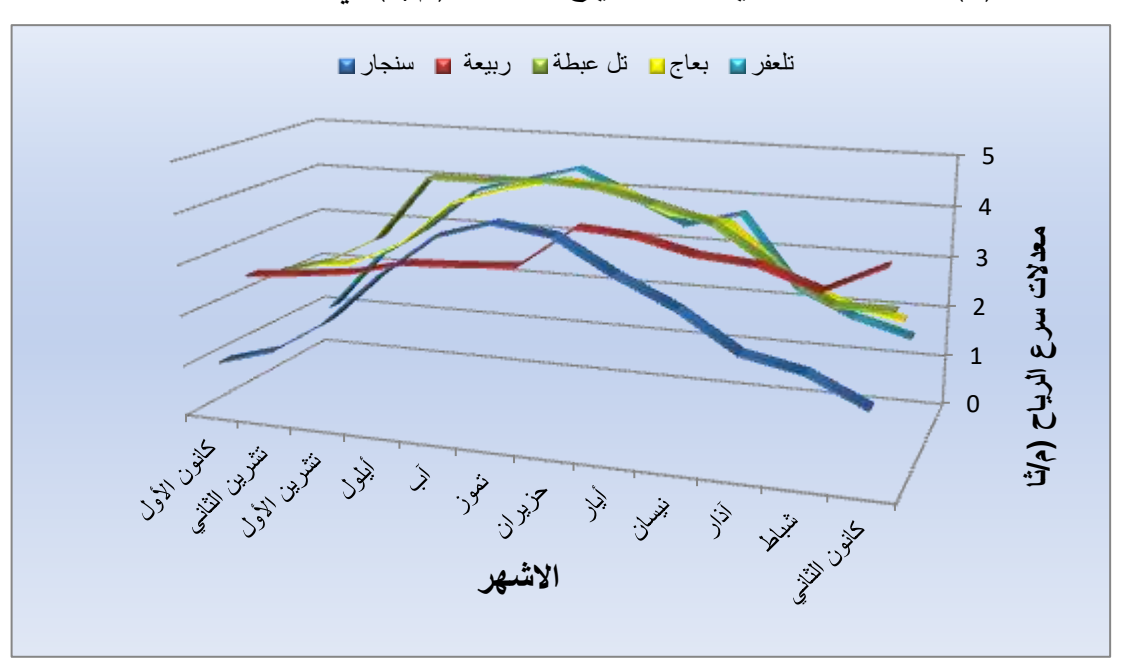


محطة تل عبطة (٣,٥٢) م/ثا، في حين بلغ ادني معدل سنوي في محطة سنجار (٢,٥٥) إذ يزداد معدل سرعة الرياح خلال الاشهر (أذار، نيسان، أيار، حزيران، تموز، آب) ، إذ بلغ المعدل الشهري لكل من تلك الأشهر في محطة سنجار (١,٣٨، ٢,٩، ٣,٤١، ٣,٤٠، ٤,١٨،٤، ٣,٨٥) م/ثا لنفس الأشهر على الترتيب، في حين بلغت سرعة الرباح في محطة ربيعة (٣,٥٢، ٣,٠٥، ٣,٩٥، ٣,٩٥، ٣,٩٥ م/ثا على الترتيب، أما في محطة تل عبطة بلغت (٣,٢٥) ٣,٩٦، ٤,٢٥، ٤,٤٩، ٤,٠٥) م/ثا على التوالي، في حين بلغت سرعة الرباح في محطة البعاج لنفس الأشهر (٢,٨٢، ٢,٧٤، ٣,٨٦، ٤,٣٦، ٤,٣٦، ٤,٣٦) م/ثا على التوالي، بالنسبة لمحطة تلعفر بلغت سرعة الرباح خلال الأشهر آنفة الذكر (٢,٣، ٣,٧، ٣,٤، ٣,٩، ٤,٤، ٤,١) م/ثا على التوالي ثم تأخذ لمعدلات الشهرية السرعة الرباح بالتناقص ابتداءاً من شهر أيلول حتى نهاية شباط، إذ بلغ المعدل لكل من تلك الأشهر في محطة سنجار (٣,٠٢) ٢,٠٢، ١,٠٣، ١,٣٥، ١,٤٦ م/ثا على التوالي، في حين بلغت سرعة الرياح في محطة ربيعة (٣,٠٠، ٣,٧٣، ٢,٦، ٢,٧٣، ٣,٠٠) م/ثا على التوالي، إذ بلغت سرعة الرباح لمحطة تل عبطة لنفس الفترة المذكورة آنفاً (٤٠٠٨)، ٣,١٧، ٢,٦، ٢,٦، ٢,٦) م/ثا على التوالي، وفي محطة البعاج بلغت سرعة الرباح (٣,٧٦، ٢,٨٤، ٢,٣٢، ٢,١٨، ٢,١٤، ٢,٣٤) م/ثا، بالنسبة لمحطة تلعفر بلغت سرعة الرباح (٣,٨، ٢,٩، ٢,٢، ١,٥، ١,٥، ١,٨) م/ثا على الترتيب. كما لوحظ أن سرعة الرباح تتباين بين شهور السنة، اذ تزداد خلال أشهر الصيف وتقل في اشهر الشتاء بسبب ارتفاع معدلات الضغط الجوي^(٥) إذ بلغت أقصى سرعة للرباح سجلت خلال شهر تموز لمحطة تل عبطة (٤,٥٥) م/ثا(١) ، كما تتغير سرعة الرباح يومياً متأثرة بالدورة اليومية لدرجة الحرارة فالرباح السطحية تكون هادئة في الليل أما بعد الشروق فإن سرعة الرباح تأخذ بالزبادة الى أن تبلغ اقصاها عند بداية فترة الظهيرة^(٧) ، ومن خلال ما تقدم ينتج عند اشتداد سرع الرباح في إقليم الجزيرة إلى تعرية الجزء العلوي من التربة وبالتالي تصحرها، فضلاً عن ذلك يتعرض اقليم الجزيرة سنوباً الى عواصف ترابية ورملية خلال المدة من شهر نيسان وحتى شهر ايلول^(٨) ، كما إن لسرعة الرباح في أشهر الجفاف أثر بالغ في ظهور مظاهر التصحر متمثلة بزحف الكثبان الرملية وعملية التذرية وزيادة قيم التبخر من سطح التربة (٩) وتنشط بفعل الخاصية الشعرية وهو ما يؤدي الى زيادة وتراكم الاملاح على سطح التربة (١٠٠) ، وازاحتها لطبقة الهواء الرطبة ليحل محلها هواء اكثر جفافاً يؤدي إلى جفاف وتملح

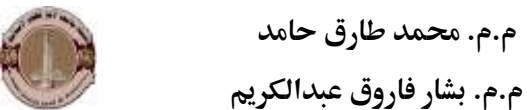


التربة كمظهر من مظاهر التصحر، كما هو واضح لمملحتي سنيسلة والاشقر في الجزء الجنوبي من منطقة الدراسة، إذ تقوم الرياح بإزاحة الطبقة السطحية للتربة غير المحمية بغطاء نباتي، كما أن جفاف التربة وتفككها يُعرض دقائقها الناعمة الى عملية التعرية الريحية التي تسهم بشكل كبير في زحف الكثبان الرملية من الجزء الجنوبي من منطقة الدراسة وظهور العواصف الترابية في الفصل الجاف من السنة، وإن هبوب الرياح لا تقتصر اضراره على زيادة حدة الجفاف وإنما تؤدي الى زحف الكثبان مع اتجاه الرياح السائدة وبخاصة في الجزء الجنوبي الغربي والجنوبي الشرقي التي تتسم باستواء سطحها وقلة تضرس الارض التي أسهمت في بروز أهم مظهرين من مظاهر التصحر متمثلة ببروز تلال من الكثبان الرملية وبروز مملحتي سنيسلة والاشقر بعد أن كانا من أهم المنخفضات المائية التي تستخدم لإرواء المواشي.

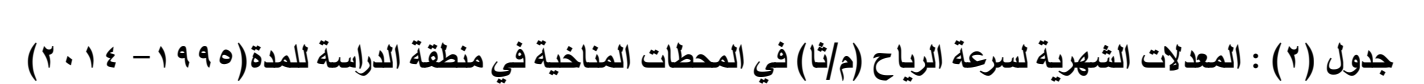
شكل (١): المعدلات الشهرية لسرعة الرياح السطحية (م/ثا) في المحطات المناخية لمنطقة



المصدر: اعتمادً على بيانات الجدول (٢)



قياس ضغط الرياح المسلط على سطح ترب الاراضي الزراعية المتروكة وترب الكثبان



t an . tt		الاشهر									الاشهر		
المعدل السنوي	کانون ۱	تشرین ۲	تشری <i>ن</i> ۱	ايلول	آب	تموز	حزيران	آيار	نیسان	آذار	شباط	کانون ۲	المحطة
۲,00	١,٠٣	1,70	۲,۰۲	٣,٠٢	٣,٨٥	٤,١٨	٤,٠٣	٣,٤١	۲,۹	١,٣٨	١,٩٨	١,٤٦	سنجار
٣,٢٣	۲,٥	۲,٦	۲,۷۳	٣,٠٠	٣,٠٥	٣,١٣	٣,٩٥	٣,٨٧	٣,٦١	٣,٥٢	٣,١٥	٣,٧	ربيعة
٣,٥٢	۲,٦	۲,۳	٣,١٧	٤,٠٨	٤,٤٧	٤,٥٥	٤,٤٩	٤,٢٥	٣,٩٦	٣,٢٥	۲,٦	۲,۳۰	تل عبطة
٣,١٨	۲,۱۸	۲,۳۲	۲,۸٤	٣,٧٦	٤,١١	٤,٣٦	٤,٢٧	٣,٨٦	٣,٧٤	۲,۸۲	۲,٣٤	۲,۱٤	البعاج
۲,۹۲	١,٠	۲,۲	۲,۹	٣,٨	٤,١	٤,٤	٣,٩	٣, ٤	٣,٧	۲,۳	١,٨٠	١,٥،	تلعفر

المصدر: جمهورية العراق، وزارة النقل والمواصلات، الهيئة العامة للأنواء الجوية والرصد الزلزالي، قسم المناخ الزراعي، المعدلات الشهرية لسرع الرياح للمدة ١٩٩٥ - ٢٠١٤ _ بغداد (بيانات غير منشورة)



خريطة (٢) وردة الرباح (*) السنوبة لمحطات منطقة الدراسة



من خلال الخريطة (٢) إن الرياح السائدة في منطقة الدراسة هي الرياح الشمالية الغربية، وإن هذه الرياح تنشط في فصل الصيف وتبلغ ذروة نشاطها خلال أشهر (حزيران، تموز، آب) إذ تزداد معدلاتها سرعتها وتكرارها مما يؤدي على تزايد قدرتها إلى حمل ذرات الرمال(١١١)، كما أنها تؤدي الى جفاف وتفكك دقائق سطح التربة وخاصة تربة الاراضى المتروكة ومن ثم تسهل

^(*) وردة الرياح: عبارة عن شكل تتوسطه دائرة تحيط بها مجموعة من الاعمدة الصغيرة لتوضيح النسب العامة لهبوب الرياح واتجاهاتها المختلفة، ويلاحظ ان الدائرة المرسومة بوسط الوردة عادةً ما يكتب وسطها نسبة السكون، للتفاصيل ينظر:

احمد حمد الشيخ ، الارصاد الجوية، بدون مكان طبع، ٢٠٠٤، ص ٢٩٠. (٣٣٢)



تعربتها وتنقل جزيئات التربة من مكان الى آخر، وعند اعتراض هذه الرمال لأى عائق ترسب الرباح حمولتها من الرمال بفعل هذه العوائق التي تعمل على إضعاف سرعة الرباح مكونة كومات من الرمال حول هذه العوائق وباستمرار عملية التعربة الربحية تكبر هذه الاكوام لتشكل الكثبان الرملية(١٢) ، التي من أهم شروط تكوينها هبوب الرياح من اتجاه معين لمعظم ايام السنة بالاضافة لما تقدم فإن التعرف على اتجاه الرباح السائدة في منطقة الدراسة يساعد في تحديد الاماكن التي من الممكن زراعتها بمصدات الرباح للحد من التعربة الربحية وزحف الكثبان الرملية الذي يعد مظهراً من مظاهر التصحر في منطقة الدراسة. وفيما يتعلق بمنطقة الدراسة ، إذ يتضح من الجدول (٣) المعدلات الشهرية لمقدار قوة ضغط الرياح (كغم / م٢) في محطات منطقة الدراسة، اذ أن قوة ضغط الرباح في جميع محطات منطقة الدراسة (سنجار، ربيعة، تل عبطة، البعاج، تلعفر) ترتفع ابتداءً من شهر نيسان تبعاً للزبادة في المعدلات الشهرية لسرع الرياح فيهما، لتصل الى اقصاها خلال (حزيران، تموز) في جميع المحطات، إذ بلغت معدل قوة ضغط الرباح لكل من تلك الأشهر في محطة سنجار (١,٣٦، ١,٣٦) كغم/م على التوالي، وبلغ في محطة ربيعة (١,٢١، ٢٠,٠) كغم/م على التوالي، في حين بلغ في محطة تل عبطة (١,٥٧، ١,٥٥) كغم/م٬ وبلغ (١,٤٨، ١,٤٨) كغم/م٬ في محطة البعاج على الترتيب، أما بالنسبة لمحطة تلعفر بلغ (١,٥١، ١,٥١) كغم/م ولنفس الأشهر الآنفة الذكر وعلى الترتيب. ثم تأخذ تلك المعدلات بالانخفاض بدءاً من شهر أيلول لتصل الى أدنى قيمها في شهر كانون الأول في جميع محطات منطقة الدراسة (سنجار، ربيعة، تل عبطة، البعاج، تلعفر) والذي بلغ معدل سرعة الرياح فيهما (٣,٧٠، ٩، ٨,٣، ٩، ٢٦٦) كم/ ساعة على التوالي وبلغ قوة ضغط الرباح فيهما (٠٠٠٠، ٩٠،٤١، ١٠,٤٧، ٢٠,٠٧) كغم/م على الترتيب.



, / م٬) في محطات منطقة الدراسة	المعدلات الشهرية لمقدار قوة ضغط الرياح (كغم	الجدول (۳)
--------------------------------	---	------------

تلعفر	البعاج	تل عبطة	ربيعة	سنجار	الشهور
٠,١٧	٠,٣٦	٠,٥٣	١,٠٦	٠,١٧	كانون الثاني
٠,٢٥	٠,٤٣	٠,٥٣	٠,٧٧	٠,٣٠	شباط
٠,٤١	٠,٦٢	٠,٨٢	٠,٩٦	٠,١٥	آذار
١,٠٦	1,.9	1,77	١,٠١	٠,٦٥	نیسان
٠,٩٠	١,١٦	١,٤٠	١,١٦	٠,٩٠	مایس
١,١٨	١,٤٢	1,07	١,٢١	١,٢٦	حزيران
1,01	١,٤٨	1,00	۰,٧٦	١,٣٦	تموز
١,٣١	١,٣١	١,٦١	٠,٧٢	1,10	آب
١,١٢	۰٫۸۱	1,79	٠,٧٠	٠,٧٠	أيلول
٠,٦٥	۰,٦٣	٠,٧٨	٠,٥٨	۰,۳۲	تشرين الأول
۰,۳۸	٠,٤٢	٠,٥٣	٠,٥٣	٠,١٤	تشرين الثاني
٠,٠٧	٠,٣٧	٠,٤١	٠,٤٩	٠,٠٨	كانون الأول

المصدر: اعتماداً على بيانات الجدول (٢) ومعادلة قوة ضغط الرياح (كغم / م١).

(*) تم تحویل سرع الریاح من (م / ثا) إلى (كم / ساعة) من قبل الباحث بعد ضربها \times (٣,٦).

نستنتج من ذلك بأن إزالة دقائق الرمل بواسطة التعرية الريحية تعتمد على سرعة الرياح والمحتوى الرطوبي، إذ تتباين سرعة الرياح تبعاً لتباين أقطار الدقائق $^{(1)}$ ، التي حددها في قياسات تجريبية كل من (Zvonkov 1962; Chepil 1959; Zachar 1982) مرثا لدقائق التربة ذات أقطار تتراوح بين $^{(0)}$ مرثا لدقائق التربة ذات أقطار تتراوح بين $^{(0)}$ مرثا لدقائق التربة ذات أقطار تتراوح بين $^{(0)}$ مراثا لدقائق التربة ذات أقطار تتراوح بين $^{(0)}$

لقد استخدم (Zachar عام ۱۹۸۲) معادلة تجريبية تطبق على تحديد سرعة الرياح فيما يتعلق بحجم دقائق التربة والتي شاع استخدامها لمختلف أنواع الترب وفي مناطق متعددة من العالم وصيغتها كالآتي (٦).

 $Vt = 46.5 \sqrt{0.14d + 0.006}$

Vt : السرعة الأولية للرياح اللازمة لحركة الدقائق (متر / ثانية).

d : قطر الدقائق السائدة (سم) لمواضع العينات المختارة.



ولذلك فقد اعتمد الباحث تلك المعادلة لتحديد السرع الأولية اللازمة لحركة الدقائق القابلة للتعرية من عينات ترب الأراضي المتروكة (غير المستغلة) وترب الكثبان الرملية ضمن منطقة الدراسة، يلحظ من الجدول (٤) أقطار الدقائق (ملم) والسرع الأولية للرياح اللازم

(م / ثا) والذي يتبين من خلاله نتائج معادلة (Zachar).

جدول (٤) أقطار الدقائق (ملم) والسرع الأولية للرياح اللازمة لحركتها (م / ثا)

السرعة الأولية للرياح(م / ثا)	نوعها	قطر الدقائق(سم) ^(*)	قطر الدقائق (ملم)
٣,٦	غرين متوسط وناعم وطين	٠,٠٠١	۰,۰۱ فأقل
٣,٧	غرين متوسط	٠,٠٠٢٥	٠,٠٢٥
٣,٨	غرین خشن	٠,٠٠٥	٠,٠٥
٤,٠	رمل ناعم جداً	٠,٠١	٠,١
٤,٥	رمل متوسط	٠,٠٢٥	٠,٢٥
٥,٣	رمل خشن	٠,٠٥	٠,٥
٦,٦	رمل خشن جداً	٠,١	١,٠

المصدر: (١) اعتماداً على معادلة (١٩٨٢ Zachar).

(*) تم تحويل أقطار الدقائق من (ملم) إلى (سم) من قبل الباحث.

يلحظ من نتائج المعادلة بأن السرعة الأولية اللازمة لحركة الدقائق القابلة للتعرية تتناسب طردياً مع أقطار الدقائق، كما يتضح من الجدول (٤) أن الحد الأدنى للسرعة اللازمة لحركة الدقائق الناعمة جداً التي يبلغ مقدار قطرها (٢٠,٠ ملم) فأقل والمتمثلة بدقائق (الغرين المتوسط والناعم) يبلغ (٣,٦م/ثا) وتزداد السرعة كلما زاد قطر الدقائق حتى تصل الى المتوسط والناعم) عندما يبلغ قطرها (١ ملم) المتمثلة بدقائق (الرمل الخشن جداً)، ومما تقدم اتضح بأن السرع الأولية للرياح اللازمة لحركة الدقائق القابلة للتعرية الريحية من الطبقة السطحية لعينات منطقة الدراسة، أي الدقائق التي يبلغ قطرها (١) ملم فأقل تتراوح ما بين (٣,٦ – ٢,٢) م/ثا أي ما يعادل (١,٩٦٦ – ٢,٧٦) كم / ساعة وان هاتين السرعتين تقعان ضمن

⁽٢) عبدالله سالم عبدالله المالكي ، ظاهرة التذرية الريحية في محافظتي ذي قار والبصرة ، دراسة جغرافية ، أطروحة دكتوراه(غير منشورة) ، كلية الآداب، جامعة البصرة ، ١٩٩٩ ، ص ٢٠٠



المرتبتين الثالثة والرابعة بالنسبة لمقياس بيفورت، وتتراوح قوة ضغط تلك الرياح بين (١,٠٠٧) كغم/م ، إذ عندما تزداد سرعة الرياح عن السرعة الأولية المذكورة في الجدول (٤) إن الدقائق القابلة للتعرية ترتفع من سطح الأرض وتنقل بفعل الرياح لمسافات مختلفة تبعاً لتباين سرعة الرياح وأقطار الدقائق السائدة، ويتضح من الجدول (٢) أن المعدلات الشهرية لسرع الرياح تكون متباينة في جميع محطات منطقة الدراسة، إذ أن الأشهر التي تزيد عن الحد الأدنى للسرعة الأولية للرياح تمثلت في محطة سنجار بالأشهر (حزيران، تموز، آب) و محطة ربيعة بالأشهر (نيسان، أيار، حزيران، تموز، أب، أما بالنسبة لمحطة تل عبطة فتمثلت بالأشهر (نيسان، أيار، حزيران، تموز، أب، ايلول) في حين أيلول) أما ضمن محطة البعاج تمثلت بالأشهر (نيسان، أيار، حزيران، تموز، أب، أيلول) في محطة تتعفر، وتقل في الأشهر المتبقية عن الحد الأدنى للسرعة الأولية في جميع محطات منطقة الدراسة، وان سرع الرياح تلك تكون كافية لحركة الدقائق القابلة للتعرية ونقلها من مكان الى أخر عندما تكون الظروف ملائمة لذلك في المنطقة، وأن عملية تحرك دقائق التربة الجافة والمفككة بفعل عامل الرياح المنفصلة من سطح التربة تعرف بالتذرية (Deplation)، وتتخذ ثلاث صور في تحركها تبعاً المنفصلة من سطح التربة تعرف بالتذرية (Deplation)، وتتخذ ثلاث صور في تحركها تبعاً لحجمها (الأنه):

۱- التعلق: Suspension

Saltation : القفز

-۳ الزحف : Creping.

إذ تعتمد طبيعة الحركة والانتقال على حجوم الدقائق، إذ أن الدقائق التي تصل أقطارها الى (., 0) ملم فأقل تنتقل بطريقة التعلق بشكل معلقات هوائية، في حين تنتقل الدقائق التي تتراوح أقطارها بين (., 0) ملم بطريقة القفز لمسافات قصيرة متكررة، أما الدقائق التي تصل أقطارها الى (.) ملم فإنها تنتقل بطريقة الزحف على سطح الأرض (.) ، وإن الدقائق القابلة للتعرية من الطبقة السطحية لتربة الأراضي المتروكة وتربة الكثبان الرملية من عينات منطقة الدراسة، تتحرك على وفق الطرائق التي ذكرت آنفاً .



جدول (٦) القابلة للتعرية الريحية من سطح ترب الأراضي المتروكة و الكثبان الرملية ضمن العمق من (٠ – ١٠ سم) في منطقة الدراسة.

الدقائق غير		**	ابلة للتع وية (**)	(ملم) الق مبها المئ	ِ الدقائق ريحية ون				/*\	اسم
القابلة للتعرية (%)	المجموع	ملم	ه,، ملم	۰,۲۵ ملم	۰,۱ ملم	۰,۰۵ ملم فأقل	Y	X	موقع العينة (*)	القضاء
٤٣,٠	٥٧,٠	۱۸,۷	۱٠,٩	۱٧,٤	٦,٨	٣,٢	36.217	46.464	حمرة السراي	تلعفر
٤٤,٥	00,0	10,5	۱۲,۷	10,7	٧,٣	٤,٥	36.416	42.599	ابو مارية والمزرع	تتعر
٤٨,٢	٥١,٨	17,0	1.,0	1 ٤,٣	۸,۲	٦,٣	36.398	41.389	باره وجفو <i>ي</i>	المن المال
٤٥,١	0 £ , 9	18,7	١١,٢	18,7	٩,٣	٥,٢	36.185	42.132	السيباية الغربية	سنجار
۲۸,۳	٧١,٧	17,7	74,7	77,7	0, ٤	٣,٣	35.938	41.633	بوثة الشرقية	710.11
۲۸,۹	٧١,١	۲٦,٧	۲,۲۱	۱۳,۷	٩,٢	٥,٣	36.056	41.305	تل سفوك	البعاج
44,1	٦٦,٨	10,1	19,7	۲۰,٥	٨, ٤	٣,٢	35.858	42.678	مفلكة شمالية	11
۳۲,٥	٦٧,٥	١٦,٥	۱۷,۱	۲٦,٤	٥,٣	۲,۲	35.828	42.295	ادحيلة	الحضر
٣,٨	97,7	1,70	۲٣,٤	٤٦,٠	۲۱,٥	٣,٥	35.772	42.707	مفلكة الشمالية	كثبان
•	١	•	٤١,٤	٥٣,٧	٣,٨	١,١	35.756	42.273	ادحيلة	الحضر
٧,٥	97,08	ለ,ለ٦	۲٥,٤	٣٦,٤	٩,٢٦	17,89	35.873	41.670	بوثة الشرقية	كثبان
١,٨	٩٨,٢	۲,٥	۲۸,۳	٥٠,٠	17,1	٤,٣	36.009	41.365	تل سفوك	البعاج

المصدر : التحليلات المختبرية، التي أجريت في كلية الهندسة - جامعة الموصل - مختبر التربة، ٢٠١٣.

ويتضح من الجدول (٥) والشكل (٢) النسب المئوية لاقطار الدقائق القابلة وغير القابلة للتعربة الربحية من سطح ترب الأراضي المتروكة و الكثبان الرملية ضمن العمق من

(**) اعتمد تصنيف مفصولات التربة حسب اقطار الدقائق وفق التقسيم الامريكي للترب

للتفاصيل ينظر:

- ١. مظفر احمد الموصلي وقحطان درويش الخفاجي، اساسيات التربة العامة، مطبعة دار دجلة، الاردن، ط١، ٢٠١٣، ص ٣٦.
- ٢. دي زاخار، تعربة التربة، ترجمة نبيل إبراهيم الطيف وحسوني جدوع، مطابع التعليم العالي، الموصل،
 ١٩٩٠ مل ١٢٦٠.

Geographic Coordinate System TO Coordinate System من الاحداثيات من (*)

Degree, Minute, Second Converter باستخدام برنامج



ولغرض تقدير كمية الدقائق التي تنقلها الرياح من الطبقة السطحية لأراضٍ الترب السطحية وترب الكثبان الرملية في منطقة الدراسة، تم اعتماد المعادلة التي اقترحها كل من Siddoway and عام ١٩٦٣، واستخدمت من قبل كل من Chepil and woodruff عام ١٩٦٠، فضلاً عن استخدامها من قبل Skidmore عام ١٩٧٠، فضلاً عن استخدامها من قبل كل من Earl Bond, Leonlyles and W.A.Hayes عام ١٩٨٠، فضلاً عن استخدامها من قبل دراسات أخرى كثيرة.

وتعد هذه المعادلة من أكثر المعادلات التجريبية شيوعاً والتي أوصت بها هيأة البحوث الزراعية في وزارة الزراعة الأمريكية والتي اختزلت صيغتها ، كون أن أغلب الأراضي في منطقة الدراسة غير مستثمرة بالزراعة وغير محمية بغطاء نباتي كافي لتصبح صيغتها كالآتي (١١):

 $\mathbf{E} = \mathbf{I} \mathbf{C}$

سنة) حمية الدقائق التي تنقلها الرياح (طن / هكتار سنة) E

C = القابلية المناخية السنوبة للتعربة الربحية (%)

I = معامل قابلية التربة للتعرية الريحية (طن / هكتار . سنة)

وقد استخدمت هذه المعادلة في تقدير الكميات الشهرية والسنوية للدقائق التي تنقلها الرياح من الطبقة السطحية للأراضي الزراعية المتروكة وتربة الكثبان الرملية في منطقة الدراسة.



المبحث الثاني : القابلية المناخية للتعرية الريحية (C)

تعتمد القابلية المناخية للتعرية الريحية على العامل المناخي الذي يعبر عنه بسرع الرياح والقيمة الفعلية للأمطار التي تؤثر بدورها في المحتوى الرطوبي للطبقة السطحية من التربة، وقد أطلق Chepil على هذا العامل بالقابلية المناخية لتعرية الرياح (Climatic) (۱۲).

تعد هذه القابلية (C) مقياساً لقدرة العناصر المناخية على جفاف وتفكك الرواسب ونقلها الى أماكن أخرى، ولغرض تحديد قيمة (C) الشهري والسنوي والتي أوصت بها هيأة البحوث الزراعية في وزارة الزراعة الأمريكية ، وصيغتها كالآتي (C):

$$C = \Sigma 12 \frac{V^3}{100} \times \frac{(PET - P \times N)}{PET}$$

حيث أن:

القابلية المناخية السنوية لتعرية الرياح = C

V = V المعدل الشهري لسرعة الرياح (م / ثا)

PET = المعدل الشهري للتبخر / النتج المتوقع (ملم)

P = كمية الأمطار الشهرية (ملم)

N = عدد أيام الشهر

فإذا كانت نتيجة المعادلة أقل من (٢٠) فإن درجة التعرية تكون طفيفة، وإذا تراوحت ما بين (٢٠ – ٥٠) تكون درجة التعرية متوسطة، وعندما تتراوح ما بين (٢٠ – ١٥٠) تكون درجة التعرية شديدة أما إذا كانت القيمة أكثر من (١٥٠) فإن درجة التعرية شديدة جداً.

وقد استخدمت هذه المعادلة لتقدير القابلية المناخية للتعرية الريحية في العديد من المناطق الجافة، لذا فقد اعتمدها الباحث في تقدير القيم الشهرية والسنوية للقابلية المناخية للتعرية الريحية في منطقة الدراسة، ولحساب المعدلات الشهرية للمتغير (التبخر / النتح) المتوقع والتي تم حسابها اعتماداً على معادلة (نجيب خروفة عام ١٩٨٥)، فقد وجد نجيب



خروفة (١٩٨٥) العلاقة بين درجات الحرارة بالمقياس المئوي وطول النهار من جهة ومقدار قدرة التبخر – النتح المتوقع(ETo) من جهة اخرى، وتستخدم هذه المعادلة للمناطق الجافة وشبه الجافة والواقعة بين دائرتي عرض (٢٣٠٥ – ٥٥،٠) شمالاً والتي يقع العراق فيها(30,0).

وقد دونت نتائج معادلة نجيب خروفة في الجدول (٥) المعدلات الشهرية والسنوية للتبخر / النتح المتوقع (ملم) في محطات منطقة الدراسة للمدة من (١٩٩٥ – ٢٠١٤)، اذ يتم حساب قيم (التبخر / النتح) المتوقع من خلال الصيغه الآتية :

ETo = C. P. $T^{1.30}$

إذ أن:

ETo : التبخر - النتح المتوقع (ملم / شهر).

T : معدل درجة الحرارة الشهري (مْ).

P : النسبة المئوية لعدد ساعات النهار في الشهر نسبة الى عددها في السنة.

C : عامل محلي يحسب لكل موقع من معدلات البيانات المناخية للأشهر حزيران، تموز، أب، وفق العلاقة الآتية :

 $C = (1 + n/N) (0.90 + W_2 /100) (1-0.5RH/100) (0.97 + Z/10.000) 0.22$

إذ أن:

. نسبة سطوع الشمس : n / N

n: مدة سطوع الشمس المقاسة الفعلية (ساعة).

N : مدة سطوع الشمس القصوى المحتملة النظرية (ساعة).



سرعة الرياح (كم / ساعة) على ارتفاع (Υ) متر $(\mathring{}^*)$.

RH : الرطوبة النسبية (%).

Z : ارتفاع الموقع فوق مستوى سطح البحر (م).

(*) تقاس سرعة الرياح عند مختلف الارتفاعات فوق مستوى سطح الأرض، وان قيم التبخر – النتح المتوقع (*) تقاس سرعة الرياح عند (٢) م، ويمكن تعديلها حسب الارتفاع المطلوب وفق العلاقة الآتية (١٤)

$$W2 = W_Z - \frac{4.87}{\text{Ln } (67.8z - 5.42)}$$

. سرعة الرياح فوق مستوى سطح الأرض عند ارتفاع (Υ) م (Υ)

. (م / ثا). سرعة الرياح المقاسة فوق مستوى سطح الأرض (م / ثا).

z : ارتفاع المقياس فوق مستوى سطح الأرض (م).

لمزيد من التفاصيل ينظر:

(13)Kharrufa , N.S. Simplified equation for evapotranspiration in arid regions , Beitrage Zur Hydrologie , Sounderhe ft , 5.1 , 1985.



جدول (٦) المعدلات الشهرية والسنوية (للتبخر / النتح) المتوقع (ملم) في محطات منطقة الدراسة للمدة من (٥٩٥ – ٢٠١٤)

تلعفر	البعاج	تل عبطة	ربيعة	سنجار	المحطات الشهور
٣٠,٧	٣٣,٠	٣١,٤	۲۳,۹	٣٧,٠	শ এ
٤٦,٢	٤٩,٠	٤٨,١	٣٧,٠	٥٢,٠	شباط
۸۲,۰	ለ٦,٨	97,5	٦٨,٩	٩٥,٨	آذار
189,8	175,9	109,5	11.,.	107,7	نیسان
747,7	۲٦١,٠	701,7	191,7	7 £ 1, 17	مايس
۲۸۳,۲	٣ ٣٧,٣	۳۷۲,٦	707,9	٣٣٨,٣	حزيران
775,7	٣٧٣,٣	٣9 ٧,1	799,8	٣٧٩,١	تموز
٣٢٥,٥	٣٣٩,٠	۳0٠,V	۲۸۰,۲	Υ ξ λ, ο	آب
7 £ 1 , 7	7 £ 9 , V	700,4	۲۰۱,۸	770,V	أيلول
177,7	۲٥٠,٨	198,8	۱۳۱,٤	177,7	ت ۱
۹٠,٤	٨٤,٤	۸۸,٧	7 £,7	97,1	ت ۲
٤٥,٤	٤٨,٣	٣٠,٤	٣١,٢	٤٩,٩	৷ এ

المصدر: اعتماداً على جمهورية العراق، وزارة النقل والمواصلات، الهيئة العامة للأنواء الجوية والرصد الزلزالي، قسم المناخ الزراعي، المعدلات الشهرية والسنوية للتبخر والنتح للمدة ١٩٩٥ - ٢٠١٤ _ بغداد (بيانات غير منشورة) ومعادلة نجيب خروفة.

وعند تطبيق معادلة القابلية المناخية للتعرية الريحية على منطقة الدراسة، التي دونت نتائجها في الجدول (٧) المعدلات الشهرية والسنوية للقابلية المناخية للتعرية الريحية في محطات منطقة الدراسة للمدة (١٩٩٥ – ٢٠١٤)، يتضح من خلالها أن هناك تبايناً في قيم المعدلات الشهرية للقابلية المناخية للتعرية الريحية في كل من المحطات المناخية في منطقة الدراسة، إذ أن تلك القابلية تنعدم خلال أشهر الشتاء النظري (كانون الأول، كانون الأمطار على شباط) في جميع محطات منطقة الدراسة ويعزى ذلك الى تزايد معدلات الأمطار على



معدلات التبخر / النتح المتوقع، وإن تلك الزيادة في الأمطار تتغلغل عبر مسامات التربة مما يؤدي الى ارتفاع محتواها الرطوبي وتماسك دقائقها وعدم تأثرها بالتعرية الريحية، وتبدأ القابلية المناخية بالارتفاع التدريجي خلال أشهر (أذار، نيسان، أيار) فقد بلغ مجموع المعدلات الشهرية للأشهر المشار إليها (٢٤,٨٩، ٢٨,٧٢، ٢٨,٧٢) في محطة الشهرية للأشهر المشار إليها (٢٤,٠٠، ١٧,٧١) على التوالي، وبنسبة مقدارها (٢٠,٠٠، ١٥,٥٩، ٣٤,١٩ المناخية المناخية المناخية المناخية المناخية المناخية المناخية المناخية المناخية الله التعريبة الى ذروتها خلال أشهر الصيف النظري (حزيران، تموز، أب) إذ بلغ مجموعها للتعريبة الى ذروتها خلال أشهر الصيف النظري (حزيران، تموز، أب) إذ بلغ مجموعها التوالي، وشكلت نسبة مقدارها (٢٥,٥٠، ٢٥,٤٤، ٢٥,٥١) في المحطات المناخية الأنفة الذكر وعلى التوالي، وشكلت نسبة مقدارها (٢٤,٤٤، ٢٤,٤٤، ٢٩,٦٧، ١٥,٥١) من المجموع السنوي للقابلية المناخية فيهما، ويعود ذلك الى ارتفاع درجات الحرارة وانقطاع تساقط الأمطار فضلاً عن زيادة المعدلات الشهرية لسرعة الرياح التي تصل ذروتها خلال تلك الأمطار فضلاً عن زيادة جفاف وتفكك دقائق الطبقة السطحية للتربة وسهولة تعريتها الرحياً.

ثم تأخذ القابلية المناخية للتعرية الريحية بالتناقص خلال أشهر الخريف النظري (١١,١١، الأول، تشرين الأول، تشرين الثاني) إذ بلغ مجموع القابلية المناخية لتلك الأشهر (١١,١١، ١٠,٤٣ وتشكل نسبة مقدارها (٢٠,٧١، ٢٠,٩٩، ٢٠,٩٩، ٢٠,٣٨، ٢٠,٣٨ الآنفة الدراسة الآنفة الدراسة الآنفة الذكر، ويرجع سبب هذا التناقص في قيم تلك القابلية الى تدني المعدلات الشهرية للمتغيرات المناخية المؤثرة في القابلية المناخية خلال هذه الأشهر.



جدول (٧) المعدلات الشهرية والسنوية للقابلية المناخية للتعرية الريحية في محطات منطقة الدراسة للمدة (٥ ٩ ٩ ١ - ٢٠١٤)

تلعفر	البعاج	تل عبطة	ربيعة	سنجار	الشهور
_	-	_	_	_	४ डा
_	_	_	_	_	شباط
١,٨٤	٣,٩٦	0,57	۲,۲۰	_	آذار
11,90	1 ٤, ٤ ٤	۱۷,۳۱	1 . , . 9	٦,٠٦	نیسان
11,1 •	17,77	74,77	17,58	11,77	مايس
۱٧,٧٠	۲۳,٤٠	۲۷,۳۰	۱۸,٦٠	19,0.	حزيران
77,70	۲٥,٧٣	79,12	9,71	77,77	تموز
۲۱,۳۹	71,79	TV,09	۸,٦٨	17,77	آب
17,0.	10,9.	۲٠,٤٠	۸,۱۰	٨,٤٠	أيلول
٦,٧١	٦,٨٣	9,57	0,77	7,70	ت ۱
۲,٥٦	۲,۸٦	٤,٦٦	٤,٠١	٠,٤٦	ت ۲
_	_	_	_	_	اک ۱

المصدر : اعتمادً على بيانات الجداول (١٣، ١٧، ١٩) ومعادلة القابلية المناخية للتعرية الريحية الريحية المقترحة من قبل (F.A.O)

ويتضح من الجدول (٧) وجود علاقة ارتباط طردية بين المعدلات الشهرية للقابلية المناخية والمعدلات الشهرية لسرعة الرياح من جهة وبينها وبين المعدلات الشهرية للتبخر / النتح المتوقع من جهة أخرى في جميع محطات منطقة الدراسة، ولوحظ وجود تباين مكاني بين المحطات المناخية سواء في قيم المعدلات الشهرية أم في المجموع السنوي للقابلية المناخية للتعرية، أما فيما يتعلق بالمجموع السنوي للقابلية المناخية للتعرية الريحية، فقد بلغ في كل من المحطات المناخية آنفة الذكر (٨٨,٦٩، ٨٣،٠٤، ١٦٩،١٧، ١٦٩،٧٨، ١٢٩،٧٨، ٢٢,٣٨، ٢٢,٣٨، ٢٢,٣٨، ٢٢,٣٨، ٢٢,٣٨، ٢٢,٣٨، ٢٢,٣٨، ٢٢,٣٨، ٢٢,٣٨، ٢٢,٣٨، ٢٢,٣٨، ٢٢,٣٨، ٢٢,٣٨، ٢٢,٣٨، ٢٢,٣٨، ٢٢,٣٨، ٢٢,٣٨، ٢٤,١٠ وعلى التوالي، ويرجع هذا التباين المكاني بين المحطات المناخية الى التباين



بينهما في معدلات المتغيرات المناخية ذات العلاقة بالقابلية المناخية للتعرية الريحية، إذ أن المعدلات الشهرية والسنوية لكل من سرعة الرياح، والتبخر، والتبخر النتح المتوقع تتباين من محطة مناخية لأخرى.

الاستنتاجات:

- ١. تتميز منطقة الدراسة بظروف مناخية متمثلة بارتفاع درجات الحرارة وقلة سقوط الامطار وارتفاع قيم التبخر، مما انعكس ذلك على نشاط عملية التعربة الربحية.
- ٢. اتضح من خلال الدراسة ان مقدار ضغط الرياح على التربة يزداد خلال فصل الصيف حتى بلغ اقصى سرعة للرياح خلال اشهر (حزيران ، تموز ، اب) مما جعل اعلى مقدار لضغط الرياح على التربة خلال هذه الاشهر نفسها على التوالي.
- ٣. أن قوة ضغط الرياح في جميع محطات منطقة الدراسة (سنجار، ربيعة، تل عبطة، البعاج، تلعفر) لتصل الى اقصاها خلال (حزيران، تموز) في جميع المحطات، إذ بلغت معدل قوة ضغط الرياح لكل من تلك الأشهر في محطة سنجار (١,٢٦، ١,٢٦) كغم/م٢ على التوالي، وبلغ في محطة ربيعة (١,٢١، ٢٧،) كغم/م٢ على التوالي، في حين بلغ في محطة تل عبطة (١,٥١، ١,٥٧) كغم/م٢، وبلغ (١,٤٨ ، ١,٤٢) كغم/م٢في محطة البعاج على الترتيب، أما بالنسبة لمحطة تلعفر بلغ (١,١٨، ١,٥١) كغم/م٢ ولنفس الأشهر الأنفة الذكر وعلى الترتيب.

التوصيات:

- 1. اقامة مصدات الرياح للمساعدة في السيطرة على التعرية الريحية كونه يمثل حاجرا يعترض و يبطئ من سرعة الانسياب الطبيعي للرباح عند عبورها فوق منطقة الدراسة .
- ٢. زيادة مساحة الاراضي المزروعة للتقليل من اثر التعرية الريحية وتقليل الضغط المسلط على الترب.
- ٣. دعم المزارع بكل ما يحتاجه من اسمدة والآلات زراعية وموارد مائية وسلف لغرض تشجيع العملية الزراعية .
- العمل على تفعيل مشروع ري الجزيرة الجنوبي لما له اهمية في اعادة الحياة للعديد من الاراضي الزراعية المتروكة.



الاهتمام بالإنسان ونشر الوعي البيئي متمثلة بعقد الندوات الزراعية الهادفة وزيادة اعداد المرشدين الزراعين .

الإحالات:

- (١) أحمد سعيد حديد وآخرون، المناخ المحلي، الموصل، مطبعة جامعة الموصل، ١٩٨٢، ص١١٧.
- (۲) دي زاخار، تعرية التربة، ترجمة نبيل إبراهيم الطيف وحسوني جدوع، الموصل، مطابع التعليم العالي، ١٩٩٠، ص ٣٩٧.
 - (٣) علي حسن موسى، جغرافية المناخ، مطبعة جامعة دمشق، دمشق، ٢٠٠٥، ص٢٥٩.
- (٤) أحمد سعيد حديد وآخرون، المناخ المحلي، مطبعة دار الكتب للطباعة والنشر ، الموصل، ١٩٨٢، ص١٤٨.
- (°) عادل طه شلال، ظاهرة التصحر وأثرها على طرق المواصلات في قضاء بيجي، مجلة جامعة تكريت للعلوم الانسانية، المجلد ١٦، عدد ٧، ٢٠٠٩، ص ٤٤١.
- (٦) وزارة النقل والمواصلات، الهيئة العامة للأنواء الجوية والرصد الزلزالي، قسم المناخ الزراعي، المعدلات الشهرية لدرجات الحرارة الصغرى للمدة ١٩٩٥. ٢٠١٤، بغداد (بيانات غير منشورة).
- (٧) صباح محمود الراوي وعدنان هزاع البياتي، أسس علم المناخ، دار المحكمة للطباعة والنشر، الموصل، ١٩٩٩، ص١٣٢.
- (A) عبد الكريم رشيد عبد اللطيف ن ظاهرة التصحر وأثرها على الاراضي الزراعية في اقليم الجزيرة، مصدر سابق، ص ٢١٠.
- (٩) منعم مجيد الحمادة، تحليل جغرافي لمشكلة التصحر في قضاء الزبير، مجلة أبحاث البصرة، ص١٥١، المجلد ٣٦، العدد٢، ٢٠١١، ص٢٨٦.
- (١٠) سرحان تميم الخفاجي، التحليل الجغرافي لظاهرة التصحر في محافظة المثنى، مجلة آداب ذي قار، مجلد١، عدد٢، ٢٠١٤، ص١٥١.
- (١١) علي مخلف سبع الصبيحي واشواق عبد الكريم مجهد، الاثار البيئية لمشكلة التصحر في قضاء بيجي، مجلة جامعة تكريت للعلوم، المجلد ٢٠، العدد ٥، ٢٠١٣ ص١٨٤.
- (١٢) علي كريم محد، دراسة التصحر الكثبان الرملية في جنوب سهل الرافدين باستخدام (GIS&RS) مجلة جامعة بابل للعلوم الانسانية، المجلد ١٨، العدد ٣، ٢٠١٤، ص١٠.
- (13)Kharrufa , N.S. Simplified equation for evapotranspiration in arid regions , Beitrage Zur Hydrologie , Sounderhe ft , 5.1 , 1985.
 - (١٤) مجد طارق حامد العبيدي ، التحليل المكاني لظاهرة التصحر الأقضية مختارة بمحافظة نينوى باستخدام نظم المعلومات الجغرافية (GIS) ، رسالة ماجستير غير منشورة ، جامعة الموصل ، ٢٠١٧ .